

## บทที่ 4

### การวิเคราะห์ประสิทธิภาพการทำงานของเครื่องอบแห้ง ชานอ้อยขั้นต้น (Pre-drying)

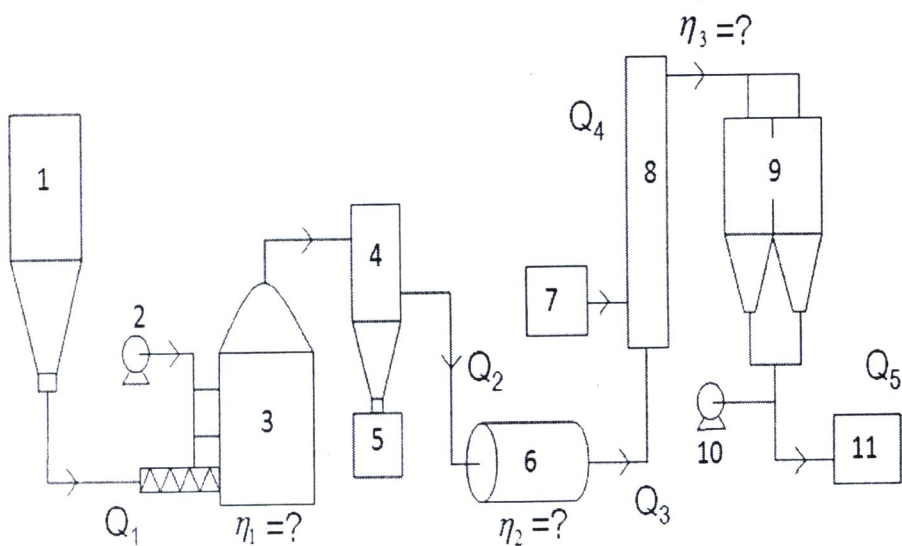
#### 4.1 กำหนดสมมุติฐาน

- (1) เชื่อว่ามีการใช้เชื้อเพลิงฟืนชานอ้อยมากเกินไปจนเกิดความจำเป็นในการอบแห้งขั้นต้นชานอ้อย
- (2) เชื่อว่าความเร็วรอบระบบลำเลียงเชื้อเพลิงฟืนชานอ้อยเข้าเตาเผาและความชื้นของชานอ้อยในการอบไม่เหมาะสม
- (3) เชื่อว่ามีการสูญเสียความร้อนจากการแผ่รังสีและการพาความร้อนของเตาเผาเก่าเป็นจำนวนมาก

#### 4.2 การวิเคราะห์ประสิทธิภาพ

การตรวจวิเคราะห์เพื่อหาประสิทธิภาพทางความร้อนของเครื่องอบแห้งชานอ้อยขั้นต้น (Pre-dryer) ของบริษัท พาเนล พลาสติก จำกัด ซึ่งทำการอบแห้งชานอ้อยโดยอาศัยก๊าซไอร้อนที่ผลิตจากเตาเผาชีวมวลฟืนชานอ้อย เพื่อให้ง่ายต่อการวิเคราะห์และการกำหนดแนวทางในการเพิ่มประสิทธิภาพของเครื่อง จึงควรแบ่งการวิเคราะห์ประสิทธิภาพออกเป็น 3 ส่วน ดังนี้

- (1) การหาประสิทธิภาพทางความร้อนของเตาเผาชีวมวลจากฟืนชานอ้อย (Furnace)
- (2) การหาประสิทธิภาพการส่งผ่านความร้อนของเตาเผาเก่า (Old Furnace)
- (3) การหาประสิทธิภาพทางความร้อนของช่วงการอบแห้ง (Drying process)



ภาพที่ 4.1 กระบวนการอบแห้งชานอ้อยขั้นต้น (Pre-drying)

จากภาพที่ 4.1 การวิเคราะห์หาประสิทธิภาพทางความร้อนของกระบวนการอบแห้งขั้นต้นนี้จะใช้หลักการหาสมดุลพลังงานความร้อน โดยประสิทธิภาพรวมของเตาอบแห้งขั้นต้น (Pre-dryer) สามารถหาได้จากสมการ

$$\eta_{pre-dryer} = \eta_1 \eta_2 \eta_3 \quad (4.1)$$

โดยที่

$\eta_1$  = ประสิทธิภาพของเตาเผาชีวมวลจากฟืนชานอ้อย

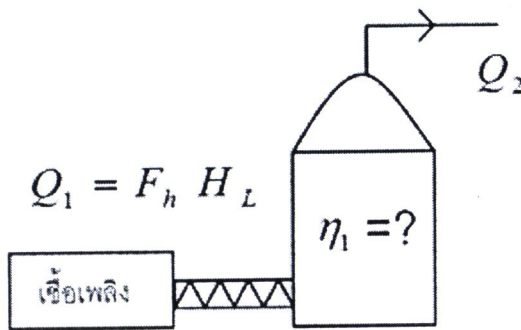
$\eta_2$  = ประสิทธิภาพการส่งผ่านความร้อนของเตาเก่า

$\eta_3$  = ประสิทธิภาพทางความร้อนของช่วงการอบแห้ง

#### 4.3 การหาประสิทธิภาพของเตาเผาชีวมวลจากฟืนชานอ้อย (Furnace)

จากภาพที่ 4.2 สามารถหาประสิทธิภาพของเตาเผาได้โดยการนำความร้อนออกที่จะนำไปใช้ประโยชน์หารด้วยความร้อนเข้าสู่ระบบ ดังสมการ

$$\eta_1 = \frac{Q_2}{Q_1} \times 100 \quad (4.2)$$



ภาพที่ 4.2 การวิเคราะห์ทางความร้อนของเตาเผาชีวมวลจากฟืนชานอ้อย (Furnace)

โดยความร้อนเข้าสู่ระบบ ( $Q_1$ ) จะมีเพียงความร้อนจากการเผาไหม้ของเชื้อเพลิงเนื่องจากระบบการป้อน ไม่มีการเพิ่มอุณหภูมิเชื้อเพลิงและอากาศเข้าเตาจึงทำให้ความร้อนสัมผัสของเชื้อเพลิงและอากาศเป็นศูนย์ [22] ซึ่งหาได้จากสมการ

$$Q_1 = F_h H_L \quad (4.3)$$

โดยที่

$F_h$  = ปริมาณการใช้เชื้อเพลิง (kg/h)

$H_L$  = ค่าความร้อนต่ำของเชื้อเพลิงแข็ง (kJ/kg)

ปริมาณเชื้อเพลิงเข้า ( $F_h$ ) หาจากสูตรการขนถ่ายวัสดุด้วยสกรู [23] จากระบบลำเลียงของฝุ่นชานอ้อย คังสมการ

$$F_h = \rho_b \pi (D^2 - d^2) k p N \quad (4.4)$$

โดยที่

$\rho_b$  = ความหนาแน่นฝุ่นชานอ้อย 120 kg/m<sup>3</sup>

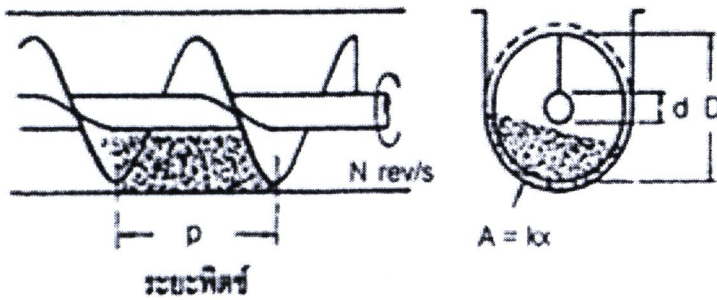
$D$  = ขนาดเส้นผ่านศูนย์กลางใบสกรู (m)

$d$  = ขนาดเส้นผ่านศูนย์กลางเพล (m)

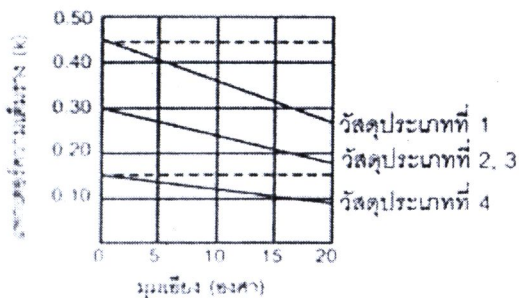
$k$  = แฟกเตอร์ความเต็มราง เท่ากับ 0.03

$P$  = ระยะพิตช์สกรู (m)

$N$  = ความเร็วรอบของสกรู (รอบต่อนาที)



ภาพที่ 4.3 ส่วนประกอบของสกรูป้อนเชื้อเพลิง



ภาพที่ 4.4 การคำนวณอัตราการขนถ่ายวัสดุ

ความร้อนออกที่จะนำไปใช้ประโยชน์ คือ ความร้อนของไอก๊าซร้อนที่เกิดจากการเผาไหม้เชื้อเพลิงฟอสซิล อ้อยภายในเตาอย่างสมบูรณ์ ดังนั้นปริมาณอากาศที่ใช้ในการเผาไหม้จะต้องมีมากเกินไปที่จะทำให้เกิดการพาความร้อนไปใช้ประโยชน์ ซึ่งหาได้จาก

$$Q_2 = F_h G C p_g (T_g - T_{ref}) \quad (4.5)$$

โดยที่

- $Q_2$  = ความร้อนจากไอเสีย (kJ/h)  
 $G$  = ปริมาตรไอเสียจริง (Nm<sup>3</sup>/kg)  
 $C p_g$  = ความร้อนจำเพาะของไอเสีย (kJ/Nm<sup>3</sup>.°C)  
 $T_g$  = อุณหภูมิของไอเสีย (°C)  
 $T_{ref}$  = อุณหภูมิบรรยากาศ (°C)

หมายเหตุ: ความร้อนจำเพาะของก๊าซเสีย ( $C p_g$ ) มีหน่วยเป็น kJ/Nm<sup>3</sup>. °C จาก [24]

$$C p_g = 0.332 * 4.187 \text{ เป็นค่าเฉลี่ย } 0 - 300 \text{ } ^\circ\text{C}$$

$$C p_g = 0.334 * 4.187 \text{ เป็นค่าเฉลี่ย } 0 - 400 \text{ } ^\circ\text{C}$$

$$C p_g = 0.337 * 4.187 \text{ เป็นค่าเฉลี่ย } 0 - 500 \text{ } ^\circ\text{C}$$

Nm<sup>3</sup> หมายถึง ปริมาตรของก๊าซที่ 0 °C ความดัน 1 บรรยากาศ

การหาค่าปริมาณ ไอก๊าซร้อนจริง(G) หาจาก

(1) ปริมาณอากาศเชิงทฤษฎี

$$\text{ปริมาณอากาศเชิงทฤษฎี } (A_0) = 0.5 + \left( \frac{1.01 H_L}{1000} \right) \quad (4.6)$$

(2) ปริมาณก๊าซไอเสียเชิงทฤษฎี

$$\text{ปริมาณก๊าซไอเสียเชิงทฤษฎี } (G_0) = 1.65 + \left( \frac{0.89 H_L}{1000} \right) \quad (4.7)$$

(3) ปริมาณก๊าซไอเสียจริง

$$\text{ปริมาณก๊าซไอเสียจริง } (G) = G_0 + (m - 1) A_0 \quad (4.8)$$

(4) อัตราส่วนอากาศ (  $m$  )

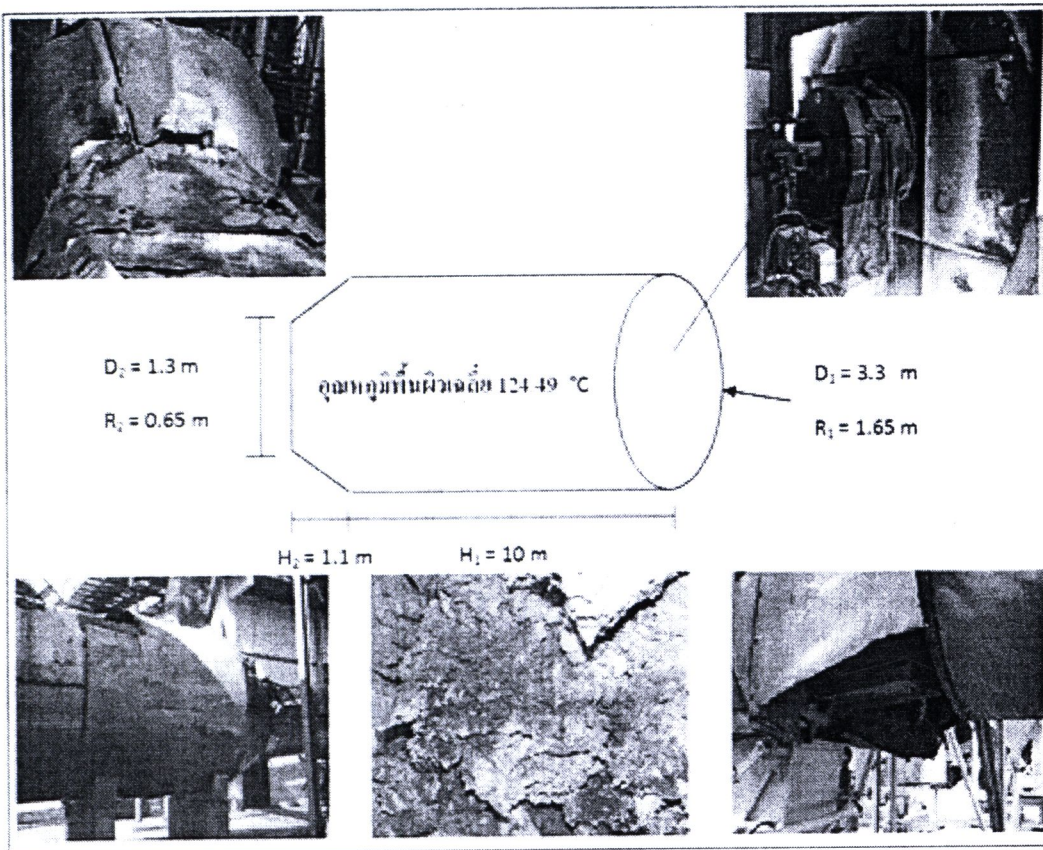
$$\text{อัตราส่วนอากาศ (m)} = \frac{21}{(21 - O_2)} \quad (4.9)$$

โดยที่  $O_2$  = ปริมาณออกซิเจนในก๊าซไอเสีย (%)

#### 4.4 การหาประสิทธิภาพการส่งผ่านความร้อนของเตาเผาเก่า

สามารถหาประสิทธิภาพได้โดยการนำความร้อนออกที่จะนำไปใช้ในการอบหาวด้วยความร้อนเข้าสู่เตาเผาเก่า ดังสมการ

$$\eta_2 = \frac{Q_3}{Q_2} \times 100 \quad (4.10)$$



ภาพที่ 4.5 เตาเผาเก่า (Old furnace)

ปัจจุบันแผ่นอลูมิเนียมและฉนวนใยแก้วที่หุ้มเตาเผาเก่ามีการหุ้มชำรุดเสียหาย ซึ่งอาจเกิดจากการใช้งาน กลางแจ้งและฉนวนใยแก้วเสื่อมคุณภาพเนื่องจากมีอายุการใช้งานถึง 15 ปี เมื่อนำเครื่องมือวัดไปทดสอบอุณหภูมิ พื้นผิวของเตาเผาเก่า พบว่า อุณหภูมิพื้นผิวของส่วนที่หุ้มฉนวนและไม่หุ้มมีค่าใกล้เคียงกัน จึงพิจารณาความ สูญเสียความร้อนของตัวเตาเผาเก่าทั้งหมดเป็นความสูญเสียความร้อนเนื่องจากไม่หุ้มฉนวน ฉะนั้นความร้อนออก ที่จะนำไปใช้ในการอบสามารถหาได้จากความร้อนเข้าสู่เตาเผาด้วยค่าความร้อนที่สูญเสียเมื่อไม่หุ้มฉนวน ดัง สมการ

$$Q_3 = Q_2 - Q_L \quad (4.11)$$

โดยที่  $Q_L$  คือ ค่าความร้อนที่สูญเสียเมื่อไม่หุ้มฉนวนของเตาเผาเก่า [24] ดังสมการ

$$Q_L = \pi d h (T_s - T_{ref}) \times 10^{-3} \quad (4.12)$$

$$h = h_c + h_r \quad (4.13)$$

$$h_c = 7.592 \left[ \frac{T_s - T_{ref}}{d} \right]^{0.25} \quad (4.14)$$

$$h_r = (\varepsilon) \left( \frac{5.669}{T_s - T_{ref}} \right) \left[ \left( \frac{T_s + 273}{100} \right)^4 - \left( \frac{T_{ref} + 273}{100} \right)^4 \right] \quad (4.15)$$

โดยที่

$Q_L$  = ความร้อนสูญเสียจากท่อเปลือย (w/m)

$h$  = สัมประสิทธิ์การถ่ายเทความร้อน (w/m<sup>2</sup>/k)

$d$  = เส้นผ่านศูนย์กลางของท่อ (mm)

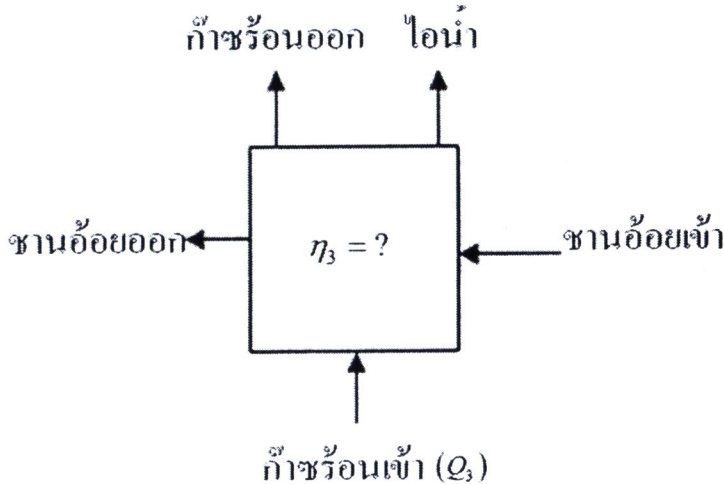
$T_s$  = อุณหภูมิผิวท่อหน่วย °C

$\varepsilon$  = ค่าสัมประสิทธิ์การถ่ายเทความร้อนโดยการแผ่รังสี ในกรณีแผ่นเหล็กกริดเหนียว  $\varepsilon = 0.56$

#### 4.5 การหาประสิทธิภาพทางความร้อนของช่วงการอบแห้ง

สามารถหาประสิทธิภาพได้โดยการนำความร้อนออกที่จะนำไปใช้ประโยชน์หารด้วยความร้อนเข้าสู่ระบบ ดังสมการ

$$\eta_3 = \frac{Q_4}{Q_3} \times 100 \quad (4.16)$$



ภาพที่ 4.6 การวิเคราะห์ทางความร้อนของช่วงการอบแห้ง

ความร้อนที่ใช้ในการระเหยน้ำออกจากชานอ้อย ( $Q_4$ ) สามารถหาได้จากสมการ

$$Q_4 = [(M_a C_{p_g} + M_{dry} C_{p_B} + M_w C_{p_w})x(T_g - T_{ref})] + (4.2)M_w L \quad (4.17)$$

- โดยที่
- $M_a$  = น้ำหนักของไอเสีย (kg.)
  - $M_w$  = น้ำหนักของน้ำที่ระเหยไป (kg.)
  - $M_{dry}$  = น้ำหนักของชานอ้อยแห้ง (kg.)
  - $C_{p_g}$  = ค่าความจุความร้อนไอเสีย 1.39 kJ/kg °C
  - $C_{p_w}$  = ค่าความจุความร้อนจำเพาะของน้ำ 4.2 kJ/kg °C
  - $C_{p_B}$  = ค่าความจุความร้อนจำเพาะชานอ้อย 2.968 kJ/kg °C [25]
  - $T_g$  = อุณหภูมิของไอเสียและไอน้ำปล่อยทิ้ง
  - $L$  = ค่าความร้อนแฝงของการกลายเป็นไอของน้ำ 2257 kJ/kg [26]
  - $T_{ref}$  = อุณหภูมิของน้ำก่อนที่จะถูกนำเข้ากระบวนการอบซึ่งก็คือ อุณหภูมิบรรยากาศเพราะไม่มีการอุ่นชานอ้อยก่อนเข้าอบ (°C)

การหาค่าน้ำหนักของน้ำ ( $m$ ) มาจาก [27]

ความชื้นในชานอ้อย คือ มวลของน้ำที่มีอยู่ในชานอ้อยเทียบกับมวลของชานอ้อยแห้ง สามารถหาได้โดยการคำนวณร้อยละของปริมาณความชื้นในรูปน้ำหนักแห้ง (dry basis)

$$\% \text{ Moisture content cane or bagasse } (m) = \frac{(m_{wet} - m_{dry})}{m_{dry}} \times 100 \quad (4.18)$$

โดยที่

$m_{wet}$  = น้ำหนักชานอ้อยเปียกหรือชานอ้อยเข้า (Kg)

$m_{dry}$  = น้ำหนักชานอ้อยแห้งหรือชานอ้อยออก (Kg)

การหาน้ำหนักของชานอ้อยเข้าอบ ( $m_{wet}$ ) จะหาได้จากสูตรของการลำเลียงแบบสายพานลำเลียง [28]

$$\text{Chain speed } (v) = \frac{z \ t \ n}{60} \quad (4.19)$$

$$\text{Capacity } (Q) = A \times v \times 3600 \text{ sec} \quad (4.20)$$

โดยที่

$v$  = Chain speed in m per sec

$z$  = number of teeth

$t$  = chain pitch (m)

$n$  = rotation per minute

$Q$  = Capacity in  $m^3$  per hour

$A$  = trough width x layer height in  $m^2$

#### 4.6 เครื่องมือที่ใช้ในการตรวจวัด

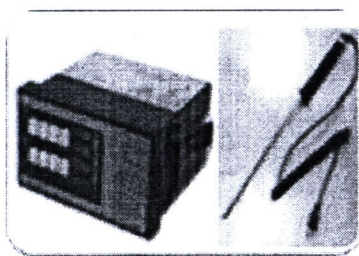
(1) เครื่องวัดอุณหภูมิแบบไม่สัมผัสด้วยอินฟราเรด (Infrared thermometer) มีช่วงการวัด (Measuring

Range) : -35 ถึง +950 °c



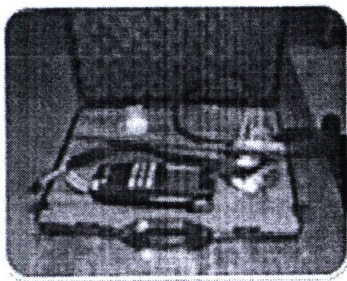
ภาพที่ 4.7 เครื่องวัดอุณหภูมิแบบไม่สัมผัสด้วยอินฟราเรด

(2) เครื่องเทอร์โมคัปเปิลแบบไทป์เค (Thermocouple probe type k) หัววัดไทป์เคที่ใช้มีช่วงของการวัดอุณหภูมิที่เหมาะสมกับงานวิจัยนี้ คือ ไม่เกิน  $700^{\circ}\text{C}$



ภาพที่ 4.8 เครื่องเทอร์โมคัปเปิลแบบไทป์เค

(3) เครื่องวิเคราะห์ก๊าซไอเสีย (Flue gas analyzer) ที่มีช่วงของการวัดอุณหภูมิ  $-40$  ถึง  $+600^{\circ}\text{C} \pm 0.5\%$  ของค่าที่อ่านได้ และช่วงของการวัดก๊าซออกซิเจน 0 ถึง 21 %Vol.



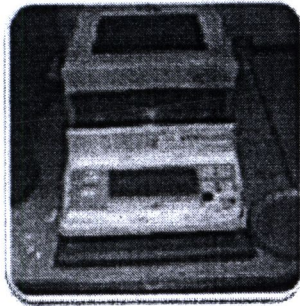
ภาพที่ 4.9 เครื่องวิเคราะห์ก๊าซไอเสีย

(4) เครื่องวัดความชื้นและอุณหภูมิของไม้แบบเข็มเจาะ (Wood moisture meter) ที่มีช่วงวัดความชื้น 6 - 99.9 % และช่วงของการวัดอุณหภูมิ  $-35 \sim 80^{\circ}\text{C}$



ภาพที่ 4.10 เครื่องวัดความชื้นและอุณหภูมิของไม้แบบเข็มเจาะ

(5) เครื่องวิเคราะห์ความชื้นแบบอบ (Moisture meter) ที่มีอุณหภูมิในการอบ  $130\text{ }^{\circ}\text{C}$  รุ่น MA30 ของบริษัท Sartorius



ภาพที่ 4.11 เครื่องวิเคราะห์ความชื้นแบบอบ

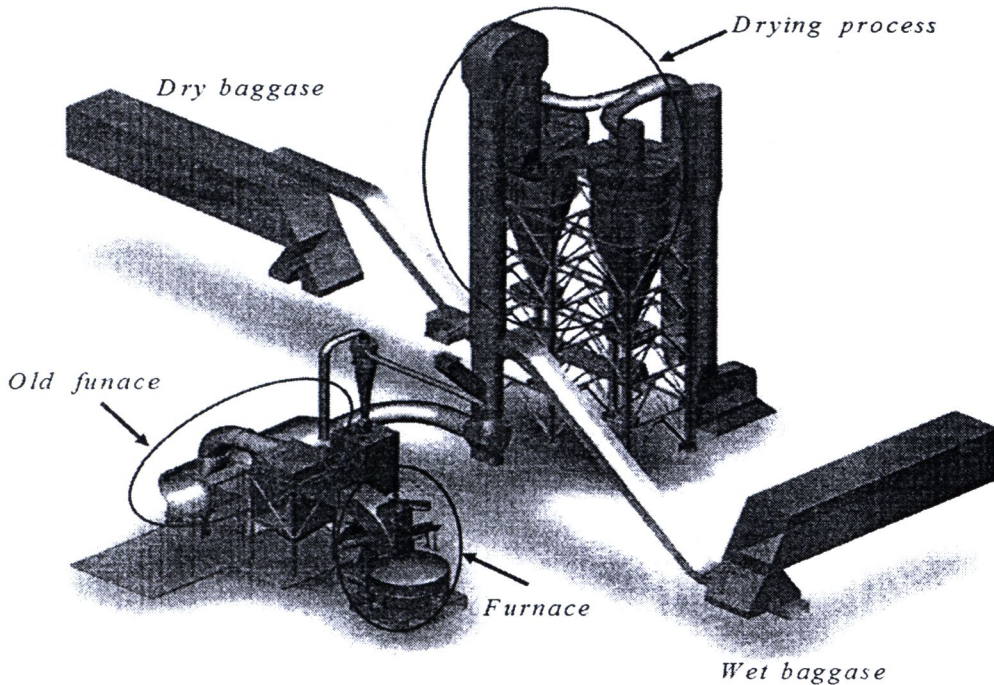
(6) เครื่องวัดความเร็วลม (Anemometer) รุ่น testo 417 มีช่วงการวัดความเร็วลม  $+0.3$  ถึง  $+20\text{ m/s}$



ภาพที่ 4.12 เครื่องวัดความเร็วลม

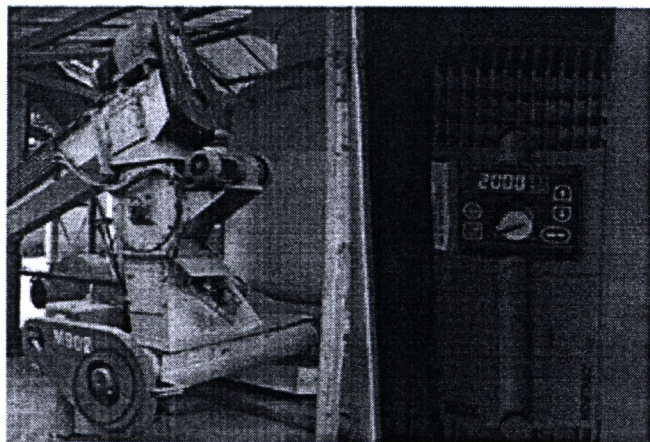
#### 4.7 วิธีการวิจัย

ในงานวิจัยนี้ได้ทำการเก็บข้อมูลการดำเนินงานในปัจจุบันเพื่อนำมาวิเคราะห์หาประสิทธิภาพรวมของเตาอบแห้งขั้นต้น (Pre-dryer) โดยจะแบ่งเป็นการหาประสิทธิภาพของเตาเผาชีวมวลจากชานอ้อย (Furnace), การหาประสิทธิภาพการส่งผ่านความร้อนของเตาเผาเก่า (Old Furnace) และการหาประสิทธิภาพทางความร้อนของการอบแห้ง (Drying process) เพื่อนำไปกำหนดแนวทางการปรับปรุงประสิทธิภาพของกระบวนการอบแห้งขั้นต้น ซึ่งได้กำหนดจุดที่จะทำการตรวจวัดและวิเคราะห์ไว้ดังนี้



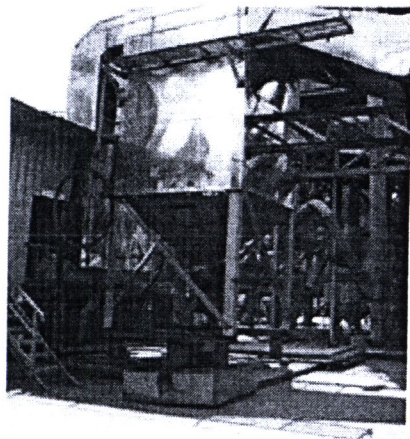
ภาพที่ 4.13 จุดตรวจวัดในเตาอบแห้งชานอ้อยขั้นต้น (Pre-dryer)

- 4.7.1 การตรวจวัดและวิเคราะห์ข้อมูลของเตาเผาชีวมวลจากชานอ้อย (Furnace) ดังต่อไปนี้
- (1) หาค่าความร้อนต่ำของเชื้อเพลิงฟืนชานอ้อย (LHV)
  - (2) ตรวจวัดอัตราการหมุนของระบบสกรูขนถ่าย (Screw conveyer) ในการป้อนเชื้อเพลิงฟืนชานอ้อยเข้าเตา
  - (3) ตรวจวัดอุณหภูมิของเชื้อเพลิงฟืนชานอ้อยและอากาศที่เข้าเตาเผา

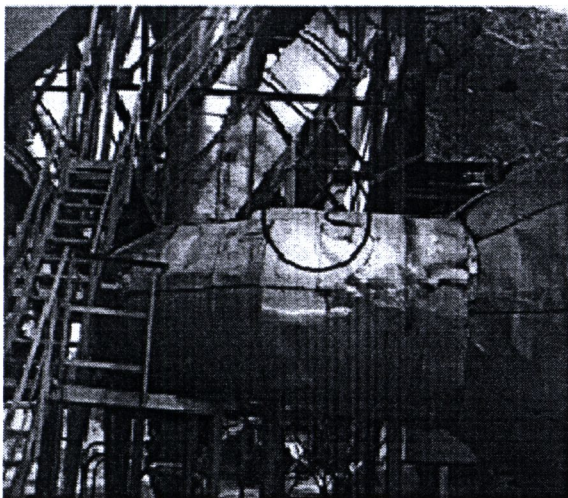


ภาพที่ 4.14 อัตรากล้าเลี้ยงฝุ่นซานอ้อยเข้าเตาเผา

- 4.7.2 การตรวจวัดและวิเคราะห์ข้อมูลของเตาเผาเก่า (Old Furnace) ดังต่อไปนี้
- (1) วิเคราะห์ไอก๊าซร้อนก่อนเข้าเตาเผาเก่า
  - (2) ตรวจวัดอุณหภูมิพื้นผิวของเตาเผาเก่า
  - (3) ตรวจวัดพื้นที่ผิวของเตาเก่า
  - (4) วิเคราะห์ไอก๊าซร้อนก่อนเข้าสู่การอบ
  - (5) ตรวจวัดอุณหภูมิไอก๊าซร้อนภายในห้องก่อนเข้าสู่การอบแห้งขั้นต้น



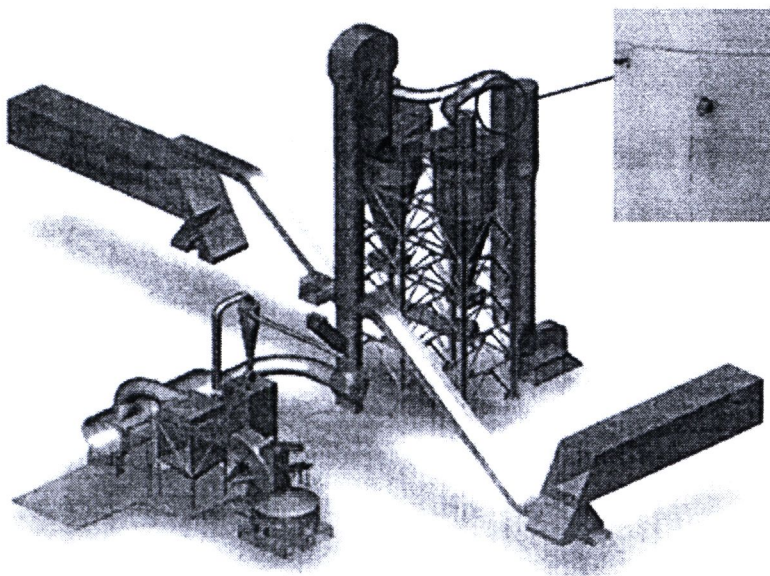
ภาพที่ 4.15 จุดวัดก๊าซไอร้อนเข้า ( $Q_2$ )



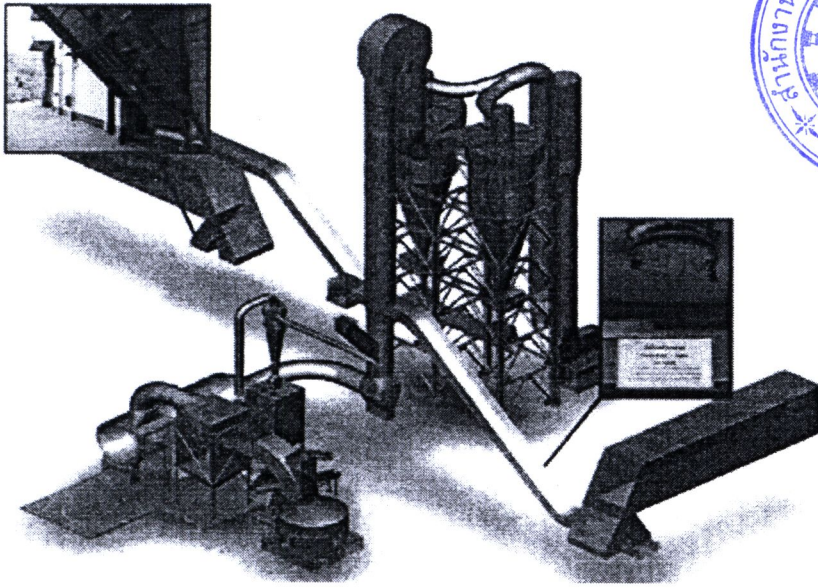
ภาพที่ 4.16 จุดวัดก๊าซไอร้อนก่อนเข้าสู่การอบ

4.7.3 การตรวจวัดและวิเคราะห์ข้อมูลของห้องอบ (Drying chamber) ดังต่อไปนี้

- (1) ตรวจวัดปริมาณชานอ้อยก่อนและหลังการอบ
- (2) ตรวจวัดอุณหภูมิและความชื้นของชานอ้อยก่อนและหลังการอบ
- (3) ตรวจวัดอุณหภูมิไอก๊าซร้อนปล่อยออกและความเร็วลมออก



ภาพที่ 4.17 จุดวัดก๊าซไอร้อนทิ้งหลังการอบ



ภาพที่ 4.18 จุดเก็บตัวอย่างชานอ้อยก่อนและหลังการอบ

เมื่อดำเนินการตรวจวัดแล้วจึงนำข้อมูลที่ได้มาวิเคราะห์หาประสิทธิภาพก่อนการปรับปรุง จากนั้นดำเนินการพัฒนาระบบอัตโนมัติควบคุมระบบลำเลียงเชื้อเพลิง โดยให้สามารถควบคุมความเร็วรอบที่เหมาะสมกับความชื้นของชานอ้อยได้ จากนั้นทำการตรวจวัดและวิเคราะห์หาประสิทธิภาพหลังการปรับปรุงเพื่อเปรียบเทียบสรุปต่อไป